

УДК 532.51

## **Влияние радиального магнитного поля на теплообмен в МГД-течениях Куэтта с вязкой и джоулевой диссипацией в кольцевом канале**

**Б.К. Джа, Х.М. Джибрил, А.О. Эмека**

*Университет Ахмаду Белло, Зария, Нигерия*

E-mail: anyanwu349@gmail.com

Представлено аналитическое исследование устойчивого полностью развитого МГД-течения Куэтта электропроводящей жидкости в присутствии радиального магнитного поля. Точные решения, полученные для уравнений, соответствующих законам сохранения энергии, импульса и массы с учетом влияния вязкой и джоулевой диссипации, изображены графически. Рассмотрено влияние различных определяющих параметров, таких как числа Гартмана и Бринкмана, на профиль температуры и, следовательно, на число Нуссельта. В результате проведенного исследования установлено, что увеличение числа Гартмана приводит к увеличению числа Нуссельта на внешней поверхности внутреннего цилиндра, в то время как влияние числа Гартмана на число Нуссельта на внутренней поверхности наружного цилиндра прямо противоположно. Кроме того, установлено, что число Бринкмана имеет незначительное влияние на числа Нуссельта, в случае, когда обе поверхности имеют одинаковую температуру.

**Ключевые слова:** МГД-течение, вязкая диссипация, джоулева диссипация, число Гартмана, число Бринкмана, число Нуссельта.

### **Введение**

Изучение течений электропроводящих жидкостей в присутствии внешнего магнитного поля имеет важное значение в силу их широкого применения в различных отраслях промышленности, науки и технологии, таких как пожарная техника, моделирование горения, геофизика, охлаждение ядерных реакторов, работа магнитогидродинамических (МГД) генераторов и при изучении плазмы. Ряд исследований посвящен конвективному МГД-течению в различных физических условиях. Например, в работе [1] изучалась теплоотдача течения Гартмана в области термического входного участка. В работе [2] исследовалось влияние магнитного поля на тепломассоперенос в вертикальном кольцевом канале, а в [3] — тепломассоперенос в МГД-течении на входе в плоский воздуховод. Авторы [4] рассматривали влияние магнитного поля на профили скорости и температуры нестационарного течения ньютоновской жидкости между двумя бесконечными непроводящими горизонтальными параллельными пористыми пластинами. Влияние постоянного магнитного поля на трехмерное течение, индуцированное плавучестью в цилиндрической полости, исследовалось в работе [5]. В работе [6] была представлена аппроксимация римановых сумм для нестационарных МГД-течений Куэтта в кольцевом канале. Авторы работы [7] изучали влияние аксиального магнитного поля на тепломассоперенос

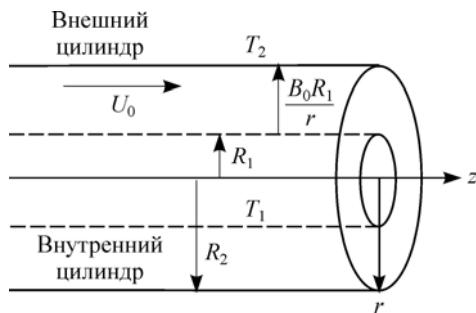
во вращающемся кольцевом канале. Они обнаружили, что увеличение числа Гартмана приводит к уменьшению скорости жидкости. Авторы [8] численно исследовали полностью развитую естественную конвекцию в открытом вертикальном концентрическом кольцевом канале при наличии радиального магнитного поля. Теплообмен в нестационарном МГД-течении через бесконечный кольцевой канал с излучением рассматривался в работе [9]. В работе [10] изучались нестационарные ламинарные МГД-течения и теплообмен в каналах и круглых трубах с учетом влияния колебательных и линейных градиентов давления. Устойчивое естественно-конвективное течение в вертикальных кольцевых каналах в радиальном магнитном поле исследовалось в работе [11].

Теплообмен во внутреннем течении через асимметрично нагретый кольцевой канал имеет место во многих производственных, технических процессах и природных явлениях. Интерес к этой теме обусловлен практическим применением (например, в приемниках солнечного излучения и каталитических реакторах). Известен ряд исследований влияния вязкой диссипации. Среди них работа [12], где рассматривалось влияние вязкой диссипации на течение между параллельными пластинами при неодинаковой температуре стенок, и работа [13], где изучалось влияние вязкой диссипации и осевой теплопроводности жидкости на теплообмен неньютоновских жидкостей в каналах с равномерным распределением температуры стенки. В работе [14] исследовался теплообмен ламинарного течения Гартмана в области термического входного участка с пошаговым изменением температуры стенки. В работе [15] изучалась ламинарная вынужденная конвекция с вязкой диссипацией в асимметрично нагретом кольцевом канале при различных значениях числах Нуссельта. В работе [16] исследовалось влияние вязкой диссипации на предельное значение числа Нуссельта для сдвигового течения через асимметрично нагретый кольцевой канал, а в работе [17] был изучен локальный и средний теплообмен в термически развивающейся области несимметрично нагретого канала.

Целью настоящей работы является аналитическое исследование комбинированного воздействия чисел Гартмана ( $M$ ) и Бринкмана ( $Br$ ) на устойчивое полностью развитое течение вязкой несжимаемой электропроводящей жидкости через кольцевой канал в присутствии радиального магнитного поля с учетом влияния вязкой и джоулевой диссипации.

### 1. Математический анализ

Рассмотрим принципиальную схему исследуемой задачи, соответствующую ей математическую модель и ее решение. Течение считается устойчивым сдвиговым полностью развитым потоком вязкой несжимаемой электропроводящей жидкости через асимметрично нагретый кольцевой канал двух бесконечных концентрических цилиндров с внутренним радиусом  $R_1$  и внешним радиусом  $R_2$  (см. рис. 1). Жидкость приходит в движение за счет смещения внутреннего цилиндра в осевом направлении с постоянной скоростью ( $U_0$ ). На обоих цилиндрах ставятся одинаковые граничные условия прилипания для гидродинамически и термически развитых течений, в то время как тепловые



граничные условия для внутренних и наружных поверхностей кольцевого канала различаются, т.к. поверхности поддерживаются при неодинаковых постоянных температурах  $T_1$  и  $T_2$  соответственно. Влияние разности температур поверхностей на характеристики асимметрии поверхности нагрева учитывается с помощью параметра  $\beta$ .

Рис. 1. Физическая геометрия задачи.

Ось  $z$  проходит вдоль оси цилиндра, а ось  $r$  — в радиальном направлении от его центра. Здесь  $\hat{T}$  — средняя температура поверхности, а  $T_f$  — температура жидкости.

Основные уравнения (сохранения массы, импульса и энергии), описывающие движение жидкости в цилиндрических координатах в размерном виде, записываются следующим образом:

$$\frac{\partial \rho}{\partial t} + \frac{1}{r} \cdot \frac{\partial}{\partial r}(r \rho v_r) + \frac{1}{r} \cdot \frac{\partial}{\partial \theta}(\rho v_\theta) + \frac{\partial}{\partial z}(\rho v_z) = 0, \quad (1)$$

$$\rho \left( \frac{\partial u}{\partial t} + u \frac{\partial u}{\partial r} + \frac{v}{r} \cdot \frac{\partial u}{\partial \theta} + w \frac{\partial u}{\partial z} - \frac{v^2}{r^2} \right) = -\frac{\partial p}{\partial r} + \rho g_r + \mu \left( \nabla^2 u - \frac{u}{r^2} - \frac{2}{r^2} \cdot \frac{\partial v}{\partial \theta} \right),$$

$$\rho \left( \frac{\partial v}{\partial t} + u \frac{\partial v}{\partial r} + \frac{v}{r} \cdot \frac{\partial v}{\partial \theta} + w \frac{\partial v}{\partial z} - \frac{uv}{r^2} \right) = -\frac{1}{r} + \rho g_\theta + \mu \left( \nabla^2 v - \frac{v}{r^2} + \frac{2}{r^2} \cdot \frac{\partial u}{\partial \theta} \right),$$

$$\rho \left( \frac{\partial w}{\partial t} + u \frac{\partial w}{\partial r} + \frac{v}{r} \cdot \frac{\partial w}{\partial \theta} + w \frac{\partial w}{\partial z} \right) = -\frac{\partial p}{\partial z} + \rho g_z + \mu (\nabla^2 w), \quad (2)$$

$$\rho C_p \left( \frac{\partial T}{\partial t} + v_r \frac{\partial T}{\partial r} + \frac{v_\theta}{r} \cdot \frac{\partial T}{\partial \theta} + v_z \frac{\partial T}{\partial z} \right) = k \left( \frac{1}{r} \cdot \frac{\partial}{\partial r} \left( r \frac{\partial T}{\partial r} \right) + \frac{1}{r^2} \cdot \frac{\partial^2 T}{\partial \theta^2} + \frac{\partial^2 T}{\partial z^2} \right). \quad (3)$$

В настоящем исследовании принят ряд важных положений:

- отсутствие тепловыделения и постоянство теплофизических свойств;
- незначительная осевая теплопроводность в жидкости через поверхности;
- полностью развитое несжимаемое течение;
- небольшое магнитное число Рейнольдса.

Магнитное поле, описываемое выражением  $B_0 R_1/r$ , направлено радиально наружу так, что магнитное число Рейнольдса очень мало. Это свидетельствует о пренебрежимой малости индуцированного магнитного поля в сравнении с полем, приложенным снаружи. Математическая модель, используемая здесь, представляет собой обобщение работы [16] для учета роли радиального магнитного поля. Поскольку поток является устойчивым и полностью развитым, то, пренебрегая конвективными слагаемыми, уравнения сохранения импульса и энергии можно переписать в размерном виде следующим образом:

$$\frac{v}{r} \cdot \frac{d}{dr} \left( r \frac{du}{dr} \right) - \frac{\sigma B_0^2 u}{\rho r^2} = 0, \quad (4)$$

$$k \frac{1}{r} \cdot \frac{d}{dr} \left( r \frac{dT}{dr} \right) + \mu \left( \frac{du}{dr} \right)^2 + \frac{\sigma B_0^2 u^2}{r^2} = 0. \quad (5)$$

Граничные условия запишутся как

$$u = U_0 \quad \text{и} \quad T = T_1 \quad \text{при} \quad r = R_1; \quad u = 0 \quad \text{и} \quad T = T_2 \quad \text{при} \quad r = R_2. \quad (6)$$

Определим необходимые безразмерные величины:

$$V = \frac{u}{U_0}, \quad R^* = \frac{R_1}{R_2}, \quad \theta = \frac{(T - \bar{T})}{(T_f - \bar{T})}, \quad \text{Br} = \frac{\mu U_0^2}{k(T_f - \bar{T})}, \quad \text{M}^2 = \frac{\sigma B_0^2 (R_2 - R_1)^2}{\mu},$$

$$R = \frac{(r - R_1)}{(R_2 - R_1)}, \quad \bar{T} = \frac{(T_1 + T_2)}{2}. \quad (7)$$

Используя уравнение (4), получим безразмерные уравнения энергии и импульса:

$$\frac{1}{[R^* + (1 - R^*)R]} \cdot \frac{d}{dR} \left[ [R^* + (1 - R^*)R] \frac{dV}{dR} \right] - \frac{M^2 V}{[R^* + (1 - R^*)R]^2} = 0, \quad (8)$$

$$\frac{1}{[R^* + (1 - R^*)R]} \cdot \frac{d}{dR} \left[ [R^* + (1 - R^*)R] \frac{dV}{dR} \right] + \text{Br} \left[ \left( \frac{dV}{dR} \right)^2 + \frac{M^2 V^2}{[R^* + (1 - R^*)R]^2} \right] = 0 \quad (9)$$

при соответствующих граничных условиях

$$V = 1, \quad \theta = -\frac{(1 - \beta)}{(1 + \beta)} \quad \text{при } R = 0; \quad V = 0, \quad \theta = \frac{(1 - \beta)}{(1 + \beta)} \quad \text{при } R = 1, \quad (10)$$

где  $\beta = (T_2 - T_f)/(T_1 - T_f)$ .

Проинтегрировав уравнение (8) с учетом граничных условий (10), представим профиль скорости в виде

$$V(R) = a_0 \left[ [R^* + (1 - R^*)R]^\lambda - [R^* + (1 - R^*)R]^{-\lambda} \right]. \quad (11)$$

Решив уравнение (9) с использованием уравнений (10) и (11), получим безразмерный профиль температуры представим в следующем виде

$$\theta(R) = a_1 \log \left( [R^* + (1 - R^*)R] \right) + a_2 - \text{Bra}_0^2 \left( [R^* + (1 - R^*)R]^{2\lambda} + [R^* + (1 - R^*)R]^{-2\lambda} \right) / 2. \quad (12)$$

Для получения более полных данных о характеристиках передачи тепла определим безразмерную среднemasсовую температуру  $\theta_b$ :

$$\theta_b = \frac{\int_0^1 [R^* + (1 - R^*)R] V \theta dR}{\int_0^1 [R^* + (1 - R^*)R] V dR}. \quad (13)$$

Уравнение (13) может быть переписано следующим образом:

$$\theta_b = \frac{a_{12}(\lambda^2 - 4)}{\left[ 2\lambda - (\lambda - 2)(R^*)^{\lambda+2} - (\lambda + 2)(R^*)^{-\lambda+2} \right]}, \quad (14)$$

здесь и далее  $a_1 - a_{12}$  — константы, описанные в разделе «Приложение».

Числа Нуссельта, рассчитываемые на основании среднemasсовой температуры как основной температуры жидкости, имеют вид:

$$\text{Nu}_1 = \frac{-1}{[\theta(0) - \theta_b]} \cdot \frac{d\theta}{dR} \Big|_{R=0}, \quad (15)$$

$$\text{Nu}_2 = \frac{1}{[\theta(1) - \theta_b]} \cdot \frac{d\theta}{dR} \Big|_{R=1}. \quad (16)$$

Уравнения (15) и (16) совместно с (14) определяют явные выражения для числа Нуссельта на обеих поверхностях (на внешней поверхности внутреннего цилиндра и внутренней поверхности внешнего цилиндра) кольцевого канала соответственно как

$$\text{Nu}_1 = \frac{2a_3\lambda(1 - R^*) \left[ (R^*) - (R^*)^{-2\lambda-1} \right] - [(1 - R^*)a_1/R^*]}{(1 - \beta)/(1 + \beta) + [a_{12}(\lambda^2 - 4)/a_{13}]}, \quad (17)$$

$$\text{Nu}_2 = \frac{(1 - R^*)a_1}{(1 - \beta)/(1 + \beta) - [a_{12}(\lambda^2 - 4)/a_{13}]}. \quad (18)$$

## 2. Результаты и обсуждение

Для иллюстрации влияния определяющих параметров (чисел Гартмана и Бринкмана) на рис. 2–6 представлены изменения температуры, среднемассовой температуры, а также скорость теплоотдачи на обеих поверхностях кольцевого канала. Настоящее параметрическое исследование выполнено в разумных диапазонах  $2,0 \leq M \leq 3,0$  и  $-0,5 \leq Br \leq 0,5$ . Кроме того, рассматривались три разных степени параметра асимметрии:  $\beta = -0,5, 0,5$  и  $1$ . Условия  $Br > 0$  соответствует случаю, когда поверхности нагреты, что сходно с ситуацией теплоотдачи жидкости через поверхности. Кривые для числа Бринкмана ( $Br \neq 0$ ) и Гартмана ( $M \neq 0$ ) представляют тепловыделение за счет вязкой и джоулевой диссипации.

На рис. 2a–2c показано изменение температуры в зависимости от  $R$  при различных значениях числа Гартмана для  $\beta = 0,5$  (a),  $-0,5$  (b),  $1,0$  (c) соответственно. Видно, что в случаях, когда  $Br \neq 0$ , профиль температуры искажается по сравнению со случаем, когда  $Br = 0$ . Это происходит из-за влияния вязкой диссипации вследствие напряжения сдвига, вызванного движением внутреннего цилиндра. Вязкая диссипация увеличивает внутреннюю температуру жидкости за счет распределения от источника тепла, вызванного преобразованием кинетической энергии жидкости в тепловую энергию. Когда

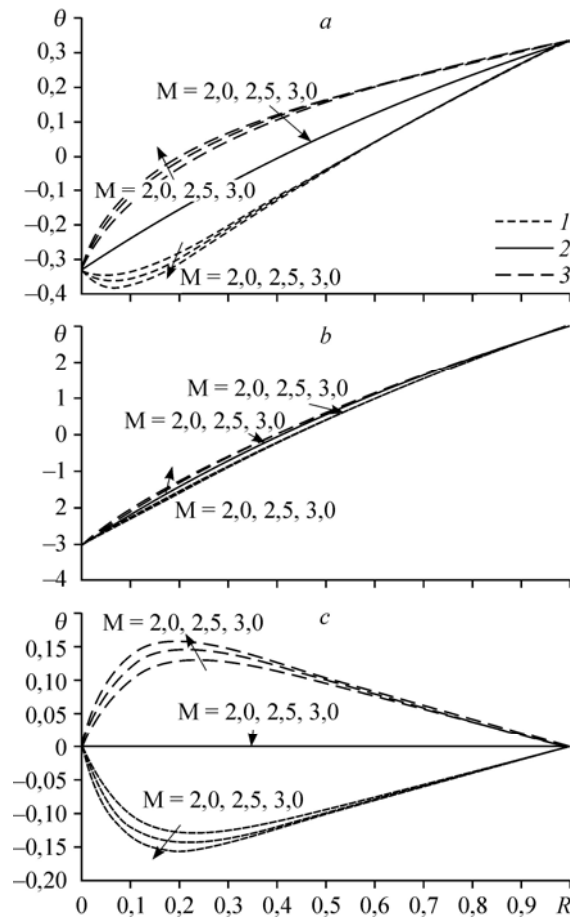


Рис. 2. Изменение температуры при различных значениях числа Гартмана ( $M$ ) для  $\beta = 0,5$  (a),  $-0,5$  (b),  $1$  (c).  
 $Br = -0,5$  (1),  $0$  (2),  $0,5$  (3).

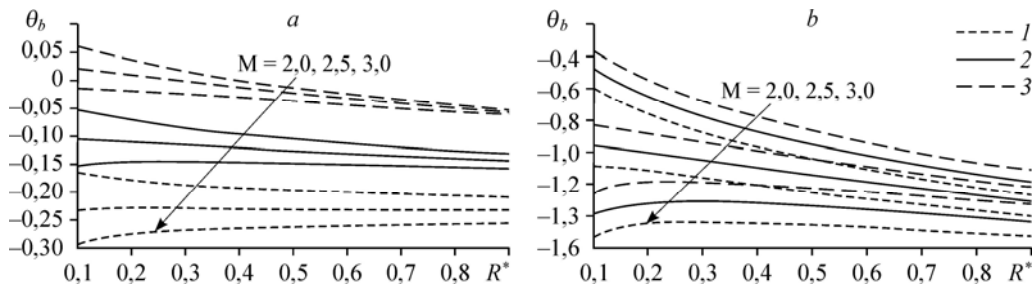


Рис. 3. Профиль среднemasовой температуры для различных значений  $M$  для  $\beta = 0,5$  (a),  $-0,5$  (b).  $Br = -0,5$  (1), 0 (2), 0,5 (3).

число Бринкмана является положительным ( $Br > 0$ ), вязкая диссипация поставляет дополнительную энергию в жидкость, что приводит к повышению температуры жидкости в сравнении с температурой жидкости в отсутствие диссипации ( $Br = 0$ ). Таким образом,  $\theta|_{Br>0} > \theta|_{Br=0}$ . Подобный анализ показывает, что  $\theta|_{Br<0} > \theta|_{Br=0}$ . Профиль температуры изменяется линейно для всех случаев нагрева поверхности при числе Бринкмана  $Br = 0$ , за исключением случая, когда  $\beta = 1$ , при таких условиях он становится профилем проводимости. Эта особенность отмечалась также в работах [12, 15] и приписывалась влиянию степени несимметричности при нагреве. Из рисунков видно, что температура уменьшается с ростом числа Гартмана ( $M$ ) при  $Br < 0$  и возрастает по мере увеличения числа Гартмана для числа Бринкмана. Кроме того, из уравнения (9) очевидно, что в отсутствие диссипации профиль температуры не подвержен воздействию магнитного поля.

Изменение среднemasовой температуры в зависимости от  $R^*$  показано на рис. 3a и 3b при различных значениях числа Гартмана для двух случаев асимметрии при нагреве  $\beta = 0,5$  и  $-0,5$  соответственно. Видно, что среднemasовая температура уменьшается с увеличением  $R^*$  в обоих случаях асимметричного нагрева. Более того, среднemasовая температура, по-видимому, сильно зависит от степени параметра асимметрии  $\beta$ . Это можно объяснить неравенством среднemasовой температуры и средней температуры поверхности кольцевого канала. Также на рисунках видно, что увеличение числа Гартмана приводит к снижению среднemasовой температуры жидкости.

Для того, чтобы проиллюстрировать влияние чисел Гартмана и Бринкмана на характеристики теплообмена, показано изменение числа Нуссельта на внешней поверхности внутреннего цилиндра и на внутренней поверхности внешнего цилиндра для разных случаев асимметричного нагрева. На рис. 4a и 4b продемонстрировано изменение числа Нуссельта на внешней поверхности внутреннего цилиндра при различных

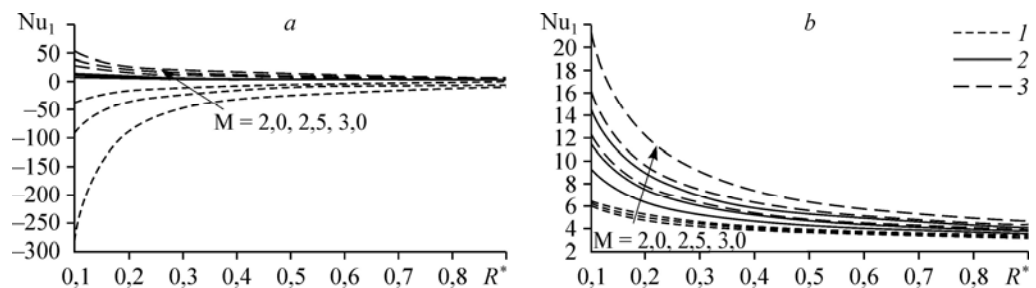


Рис. 4. Зависимость  $Nu_1$  от  $R^*$  для различных значений  $M$  при  $\beta = 0,5$  (a),  $-0,5$  (b).  $Br = -0,5$  (1), 0 (2), 0,5 (3).

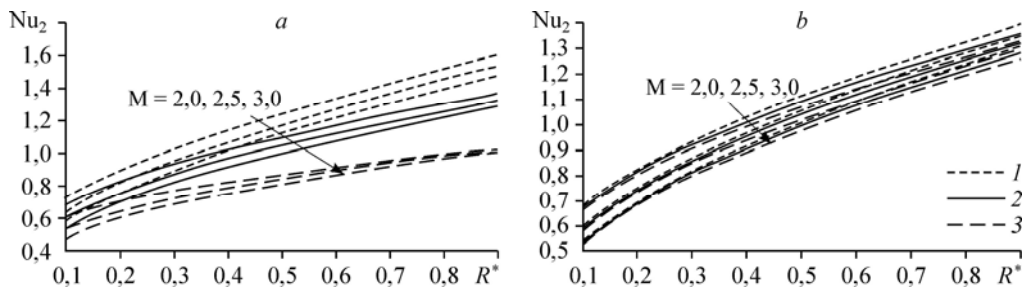


Рис. 5. Зависимость  $Nu_2$  от  $R^*$  для различных значений  $M$  при  $\beta = 0,5$  (а),  $-0,5$  (б).

а —  $Br = -0,5$  (1), 0 (2), 0,5 (3); б —  $Nu_1$  (1),  $Nu_2$  (2).

значениях числа Гартмана для двух случаев несимметричного нагрева —  $\beta = 0,5$  и  $-0,5$  соответственно. Очевидно, что число Нуссельта на внешней поверхности внутреннего цилиндра увеличивается с ростом  $M$ . Это явление отмечалось также в работе [14]. Кроме того, при увеличении числа Бринкмана увеличивается коэффициент теплоотдачи на наружной поверхности внутреннего цилиндра.

На рис. 5а и 5б показано изменение коэффициента теплоотдачи на внутренней поверхности внешнего цилиндра при различных значениях числа Гартмана для двух различных степеней асимметричного нагрева —  $\beta = 0,5$  и  $-0,5$  соответственно. Число Нуссельта на внутренней поверхности внешнего цилиндра уменьшается при увеличении числа Бринкмана. Это связано с эффектами вязкой диссипации, которая обнаруживает тенденцию к снижению градиента температуры вблизи внешнего цилиндра. Причем, из обоих рисунков видно, что число Нуссельта на внутренней поверхности внешнего цилиндра уменьшается при увеличении  $M$ .

Рисунок 6 иллюстрирует изменение числа Нуссельта на обеих поверхностях кольцевого канала ( $Nu_c$ ) в зависимости от радиуса  $R^*$  для различных значений числа Гартмана для случая симметричного нагрева поверхности ( $\beta = 1$ ). Следует отметить, что число Бринкмана имеет незначительное влияние на изменение числа Нуссельта. Это хорошо согласуется с результатом, полученным в работе [16]. Кроме того, поведение числа Нуссельта на обеих поверхностях при равной температуре показывает сходство с тем случаем, когда обе поверхности находятся при неравных температурах. Также заметим, что увеличение числа Гартмана приводит к увеличению коэффициента теплоотдачи на наружной поверхности внутреннего цилиндра, а на внутренней поверхности внешнего цилиндра отмечается обратный эффект.

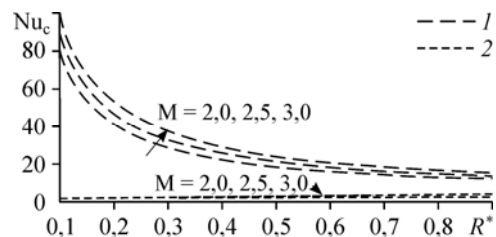
### Заключение

Исследовано течение Куэтта вязкой несжимаемой электропроводящей жидкости в горизонтальном кольцевом канале в присутствии радиального магнитного поля с вязкой и джоулевой диссипацией. Обнаружено значительное влияние чисел Гартмана  $M$  и Бринкмана ( $Br$ ) на температуру жидкости, среднюю температуру и скорость теплоотдачи на обеих поверхностях (наружной поверхности внутреннего цилиндра и внутренней поверхности внешнего цилиндра) кольцевого канала. Некоторые важные выводы этого исследования таковы:

— числа Гартмана и Бринкмана имеют заметное влияние на профиль температуры;

Рис. 6. Зависимость  $Nu_c$  от  $R^*$  для различных значений  $M$  при  $\beta = 1$ .

1 —  $Nu_1$ , 2 —  $Nu_2$ .



— число Бринкмана имеет незначительное влияние на числа Нуссельта на обеих поверхностях кольцевого канала в случае симметричного нагрева поверхности;

— увеличение числа Гартмана приводит к увеличению числа Нуссельта на наружной поверхности внутреннего цилиндра, в то время как влияние магнитного поля на числа Нуссельта на внутренней поверхности наружного цилиндра прямо противоположно.

### Приложение

Константы, используемые в настоящей работе:

$$a_0 = \frac{1}{[(R^*)^\lambda - (R^*)^{-\lambda}]}, \quad a_1 = \frac{1}{\log(R^*)} \left[ \frac{-Bra_0^2}{2} \left( (R^*)^{2\lambda} + (R^*)^{-2\lambda} - 2 \right) - 2 \frac{(1-\beta)}{(1+\beta)} \right],$$

$$a_2 = \frac{(1-\beta)}{(1+\beta)} + Bra_0^2, \quad a_3 = \frac{-Bra_0^3}{2}, \quad a_4 = \frac{a_3}{3\lambda+2} [1 - (R^*)^{3\lambda+2}], \quad a_5 = \frac{a_3}{\lambda-2} [(R^*)^{-\lambda+2} - 1],$$

$$a_6 = a_1 \left[ \frac{(R^*)^{\lambda+2}}{(\lambda+2)^2} - \frac{(R^*)^{\lambda+2} \log(R^*)}{\lambda+2} - \frac{1}{(\lambda+2)^2} \right], \quad a_7 = \frac{a_2}{\lambda+2} [1 - (R^*)^{\lambda+2}],$$

$$a_8 = \frac{a_3}{\lambda+2} [(R^*)^{\lambda+2} - 1], \quad a_9 = \frac{a_3}{3\lambda-2} [1 - (R^*)^{-3\lambda+2}],$$

$$a_{10} = a_1 \left[ \frac{1}{(\lambda-2)^2} - \frac{(R^*)^{-\lambda+2}}{(\pi-2)^2} - \frac{(R^*)^{-\lambda+2} \log(R^*)}{\lambda-2} \right], \quad a_{11} = \frac{a_2}{\lambda-2} [1 - (R^*)^{-\lambda+2}],$$

$$a_{12} = (a_4 + a_{56} + a_6 + a_7 + a_8 + a_9 + a_{10} + a_{11}),$$

$$a_{13} = [2\lambda - (\lambda-2)(R^*)^{\lambda+2} - (\lambda+2)(R^*)^{-\lambda+2}], \quad \lambda = \frac{M}{(1-R^*)}.$$

### Список обозначений

Bг — число Бринкмана,	$R^*$ — соотношение радиусов $R_1/R_2$ ,
$k$ — теплопроводность,	$R_1$ — радиус внутреннего цилиндра,
M — число Гартмана,	$R_2$ — радиус наружного цилиндра,
$B_0$ — постоянная плотность магнитного потока,	$T$ — размерная температура,
$Nu_c$ — число Нуссельта на обеих поверхностях кольцевого канала,	$T_f$ — исходная температура отсчета,
$Nu_1$ — число Нуссельта на внешней поверхности внутреннего цилиндра,	$\bar{T}$ — средняя температура,
$Nu_2$ — число Нуссельта на внутренней поверхности внешнего цилиндра,	$T_1$ — температура внутреннего цилиндра,
$r$ — размерная радиальная координата,	$T_2$ — температура наружного цилиндра,
$R$ — безразмерная радиальная координата,	$u$ — осевая скорость,
	$U_0$ — постоянная скорость подвижного внутреннего цилиндра,
	$V$ — безразмерная скорость,
	$z$ — аксиальная координата,

### Греческие символы

$\beta$ — степень асимметрии,	$\mu$ — динамическая вязкость,
$\theta$ — безразмерная температура,	$\rho$ — плотность,
$\theta_b$ — безразмерная среднemasовая температура,	$\sigma$ — электропроводность жидкости,
	$\nu$ — кинематическая вязкость.



Список литературы

1. **Michiyoshi I., Matsumoto R.** Heat transfer by Hartmann flow's flow in thermal entrance region // Int. J. Heat Mass Transfer. 1964. Vol. 17. P. 101–111.
2. **Venkatachalappa M., Youngae D., Sankar M.** Effect of magnetic field on the heat and mass transfer in a vertical annulus // Int. J. Engng. Sci. 2011. Vol. 49. P. 262–278.
3. **Hwang C.L., Knieper P.J.** Heat transfer to MHD flow in the entrance of a flat duct // Int. J. Heat Mass Transfer. 1966. Vol. 9. P. 773–789.
4. **Attia H.A., Kotb N.A.** MHD flow between two parallel plates with heat transfer // ACTA Mechanica. 1996. Vol. 117. P. 215–223.
5. **Hadid B.H., Henry D.** Numerical simulation of convective three dimensional flows in a horizontal cylinder under the action of constant magnetic field // J. Cryst Growth. 1996. Vol. 166. P. 463–473.
6. **Jha B.K., Apere C.A.** Unsteady MHD Couette flow in an annuli, the Riemann-sum approximation approach // J. Phys. Soc. Japan. 2007. Vol. 79. P. 124403-1–124403-5.
7. **Aberkane S., Mouderes M., Malika I., Ghezal A.** Effect of an axial magnetic field on heat and mass transfer in a rotating annulus // Int. J. Phys. Sci. 2014. Vol. 23. P. 368–379.
8. **Mozayyeni H.R., Rahimi A.B.** Mixed convection in cylindrical annulus with rotating outer cylinder and constant magnetic field with an effect in the radial direction // Scientia Iranica. 2012. Vol. 19. P. 91–105.
9. **Nazibuddin A., Manas D.** Heat transfer in an unsteady MHD flow through an infinite annulus with radiation // Boundary value problem. 2015. DOI 10.1186/s13661-014-0279-z.
10. **Chamkha A.J.** Unsteady laminar hydrodynamic fluid particle flow and heat transfer in channels and circular pipes // Int. J. Heat Fluid Flow. 2000. Vol. 21. P. 740–746.
11. **Singh S.K., Jha B.K., Singh A.K.** Natural convection in vertical concentric annuli under a radial magnetic field // Int. J. Heat Mass Trans. 1997. Vol. 32. P. 399–408.
12. **Ramjee R., Satyamurty V.V.** Limiting Nusselt numbers for viscous dissipation flow between parallel plates kept at unequal wall temperatures // Int. Commun. Heat Mass Trans. 2010. Vol. 37. P. 1251–1254.
13. **Jambal O., Shigechi T., Davaa G., Momoki S.** Effects of viscous dissipation and fluid axial heat conduction on heat transfer for non-Newtonian fluids in ducts with uniform wall temperature. Part II. Annular duct. // Int. Commun. Heat Mass Trans. 2005. Vol. 32, Iss. 9. P. 1174–1183.
14. **Lahjomri J., Oubarra A., Alemany A.** Heat transfer by laminar Hartmann flow in thermal entrance region with a step change in wall temperatures: the Graetz problem extended // Int. J. Heat Mass Transfer. 2002. Vol. 45. P. 1127–1148.
15. **Kumar M.M.J., Satyamurty V.V.** Limiting Nusselt numbers for laminar forced convection in asymmetrically heated annuli with viscous dissipation // Int. Commun. Heat and Mass Trans. 2011. Vol. 38. P. 923–927.
16. **Mondal P.K., Mukherjee S.** Viscous dissipation effects on the limiting value of Nusselt number for a shear driven flow through an asymmetrically heated annulus // J. Mech. Engng. Sci. 2012. Vol. 226, No. 12. P. 2941–2949.
17. **Ramjee R., Satyamurty V.V.** Local and average heat transfer in the thermally developing region of an asymmetrically heated channel // Int. J. Heat Mass Transfer. 2010. Vol. 53. P. 1654–1665.

*Статья поступила в редакцию 3 октября 2016 г.,  
после переработки — 29 декабря 2016 г.*